

简化共沉淀法制备 $\text{CaCu}_3\text{Ti}_4\text{O}_{12}$ 陶瓷 及其介电性能研究*

贾然 顾访 吴珍华 赵学童 李建英[†]

(西安交通大学, 电力设备电气绝缘国家重点实验室, 西安 710049)

(2012年1月12日收到; 2012年5月17日收到修改稿)

具有巨介电常数的 $\text{CaCu}_3\text{Ti}_4\text{O}_{12}$ 陶瓷是一种理想的高储能密度电容器材料。本文以草酸为沉淀剂、以乙酸铵为调节 pH 值的定量缓冲剂, 获得制备 $\text{CaCu}_3\text{Ti}_4\text{O}_{12}$ 陶瓷的简化共沉淀法。确定了 pH = 3.0 为制备前驱粉料的最佳反应条件。通过显微分析和介电性能测量, 发现在 1040 °C—1100 °C 范围内, 随着烧结温度的提高, 陶瓷的晶粒尺寸增大, 非线性系数上升, 电位梯度和介电损耗下降, 1100 °C 烧结的试样 $\tan \delta$ 最低达到 0.04。认为 $\text{CaCu}_3\text{Ti}_4\text{O}_{12}$ 陶瓷介电损耗包含直流电导分量、低频松弛损耗和高频松弛损耗。低频松弛活化能为 0.51 eV, 对应于晶界处的 Maxwell-Wagner 松弛极化; 高频松弛过程活化能为 0.10 eV, 对应晶粒内部的氧空位缺陷。烧结温度的升高导致晶界电阻下降。

关键词: 巨介电常数, 共沉淀法, 松弛极化, $\text{CaCu}_3\text{Ti}_4\text{O}_{12}$ 陶瓷

PACS: 77.22.Gm, 77.22.-d, 81.05.Je

1 引言

钛酸铜钙 $\text{CaCu}_3\text{Ti}_4\text{O}_{12}$ (CCTO) 陶瓷在 1 kHz 下介电常数高达 12000 左右, 并且在很宽的温度范围内 (100—380 K) 保持稳定^[1], 且不发生铁电相变。CCTO 这些良好的综合性能引起了研究者广泛的关注, 使其可能在高密度能力储存、薄膜器件及高介电电容器等领域获得广泛应用。然而相对较高的介电损耗限制了其应用。近十年来, 围绕钛酸铜钙陶瓷的研究主要包括巨介电常数产生机理、试样制备烧结工艺、离子掺杂改性等。

在巨介电常数产生机理方面, 人们对 CCTO 陶瓷、CCTO 单晶分别利用阻抗谱、拉曼光谱以及第一性原理计算等多种方法进行了深入研究。Ramirez 等^[2] 试图从 Ti^{4+} 位移的角度解释产生巨介电常数的机理, 发现 CCTO 与铁电体陶瓷相变产生高介电常数及机理不同。文献[3] 测量

了 $\text{CaCu}_3\text{Ti}_4\text{O}_{12}$ 陶瓷在不同温度下的交流复阻抗谱, 并用 IBLC 模型解释了 $\text{CaCu}_3\text{Ti}_4\text{O}_{12}$ 陶瓷的电学属性, 认为 CCTO 陶瓷宏观上可看作具有半导体性的晶粒和绝缘的晶界组成的复合体, 由于晶界和晶粒尺寸一定的比例及其导电率上的差异, 从而造成 CCTO 的视介电常数比原先体材料的高数倍乃至数十倍。根据第一性原理^[4,5] 对 $\text{CaCu}_3\text{Ti}_4\text{O}_{12}$ 的介电常数的计算结果却表明 $\text{CaCu}_3\text{Ti}_4\text{O}_{12}$ 不可能具有非常高的介电常数。现在人们普遍认为, $\text{CaCu}_3\text{Ti}_4\text{O}_{12}$ 的高介电常数与材料的微结构有关^[6—12]。Homes 等^[11] 推测孪晶界效应是产生单晶巨介电常数的原因。Fang 等^[13,14] 在固相烧结法制备的 CCTO 陶瓷中观察到了亚晶界, 并且认为亚晶界的电阻高于晶界电阻, 对巨介电常数的贡献更大。Fu 等^[15] 采用原子力显微镜观察到 CCTO 陶瓷的晶界是半导性质的而晶粒中存在半导区域和绝缘区域, 认为其巨介电常数可能来源于晶粒的不均匀性而非晶粒晶界的复合。

* 国家自然科学基金(批准号: 50977071, 50972118, 51177121)资助的课题。

† E-mail: lijy@mail.xjtu.edu.cn

在制备粉体的过程中,采用固相合成法制出的粉体一般化学组分不均匀、颗粒较粗大、粒径分布范围广,球磨混合时间长且煅烧温度较高,耗时耗能。除采用溶胶-凝胶法^[16]制备 CCTO 粉料外,较为常用的制备方法是共沉淀法。文献[17, 18]采用共沉淀法制备了钛酸铜钙粉体,该方法原料配比容易控制,制得的粉体烧结活性高,但是存在过程繁琐、易混入杂质离子等缺点。

本文采用经简化的共沉淀方法制备了 CCTO 陶瓷前驱粉体,确定了以乙酸铵为缓冲剂、反应溶液 pH = 3.0 为制备前驱粉料的最佳反应条件。然后通过不同温度烧结制备了 CCTO 陶瓷,使其介电损耗值 $\tan \delta$ 最低降至 0.04,并在较宽的频率范围内保持稳定。并且通过晶相分析、显微形貌观察以及介电性能研究,结合内部阻挡层电容器原理,说明了 CCTO 巨介电常数产生的原因。

2 实验

图 1 列出了本文采用的简化共沉淀方法制备 CCTO 陶瓷前驱粉体的路线图。如图 1 所示,将钛酸四丁酯 ($Ti(OOC_4H_9)_4$) 的无水乙醇溶液与草酸 ($H_2C_2O_4 \cdot 2H_2O$) 水溶液混合,记为 HTO 溶液;使用硝酸钙 ($Ca(NO_3)_2$) 和硝酸铜 ($Cu(NO_3)_2$) 按照 1:3 的摩尔比配制钙铜溶液。用缓冲剂调节 HTO 溶液的 pH 至 3.0 左右,继续添加钙铜溶液并用缓冲液

调节其 pH 值为 1.3, 3.0, 3.1, 3.5, 静置沉淀约 12 h,滤去上层清液,烘干 12 h 得蓝色 CCTO 前驱粉料。本文选用了定量缓冲液乙酸铵 (CH_3COONH_4) 调节 pH 值,可以有效地使混合液 pH 值达到既定要求,操作更加简单,而且乙酸铵在煅烧时易分解挥发从而不易引入杂质离子,这样就避免了原有的共沉淀法原料配比繁琐易混入 Cl^- 等对形成陶瓷有害的离子^[17] 以及 pH 值调节步骤复杂^[19] 等缺点。

将共沉淀法制备的前驱粉料经 950 °C 煅烧 10 h 后研细,观察相组成和微观结构。选用 pH = 3.0 反应制备的粉料经过煅烧、造粒、压片制成直径为 12 mm,厚度为 1—2 mm 的圆片状生坯,排胶后在空气气氛下 1040 °C, 1060 °C, 1080 °C, 1100 °C 烧结 20 h, 升温和降温速率分别是 200 °C/h 和 150 °C/h, 制备试样记为 A, B, C, D。

利用 X 射线衍射仪 (XRD, Regaku D/MAX IIIB) 分析了共沉淀法制备 CCTO 陶瓷的前驱粉体煅烧后的物相组成。对前驱粉体 950 °C 煅烧制成的陶瓷粉体表面及烧结成的 CCTO 陶瓷试样断面形貌进行扫描电镜 SEM (Jeol JSM-6390A) 观察。采用 WJ10001D 直流稳压源和 HP34401A 多功能数字表在室温下对试样进行伏安特性测量。采用 Novocontrol 宽频介电谱仪与阻抗谱仪在 10^{-1} — 10^7 Hz 频率范围、173—373 K 温度范围内,对试样的介电性能进行了测量。

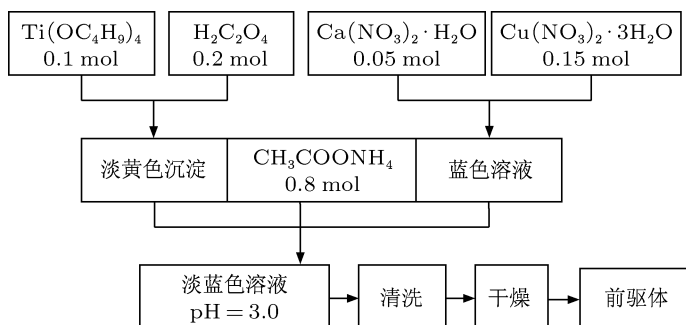


图 1 简化共沉淀法制备 CCTO 陶瓷前驱粉料的工艺流程图

3 实验结果与讨论

3.1 反应溶液 pH 值对前驱粉料的煅烧产物成分的影响

图 2 为简化共沉淀法在不同 pH 值的反应溶液下制备的四种前驱粉料经 950 °C 煅烧 10 h 后

的 XRD 图谱。煅烧产物的粉料主相均为 CCTO,含有少量的 TiO_2 , CuO 和 $CaTiO_3$,其中钙铜溶液 pH = 3.0 的粉料煅烧产物杂质含量最少,只能观察到少量的 CuO . Ti^{4+} 的沉淀是由 pH 值变化导致 Ti^{4+} 与草酸之间的络合平衡被破坏造成的,后期加入的钙铜溶液含有缓冲液乙酸铵和草酸电离的 H^+ 结合,直接影响 Ti^{4+} 的沉淀,而钙铜离子同

时也和草酸根结合产生沉淀。XRD 结果表明 3.0 的 pH 值为各元素共同沉淀的最有利条件。

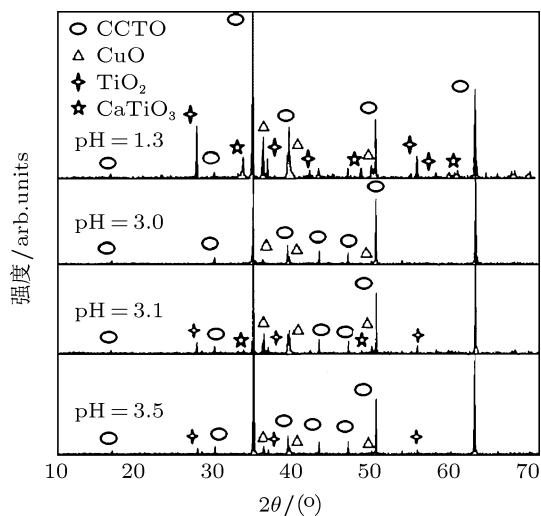


图 2 不同 pH 值制备的前驱粉料以 950 °C 煅烧 10 h 后产物的 XRD 图谱

图 3 为反应溶液 pH = 3.0 的前驱粉体煅烧产物的 SEM 形貌图, 可以看出该煅烧产物的粉体粒径均匀、形貌完整。由此可见本文采用的简化共沉淀法, 即以草酸作为沉淀剂, 乙酸铵溶液作为缓冲液, 保证反应溶液的 pH 值在 3.0 左右, 可以成功制备优良的 CCTO 前驱粉料。

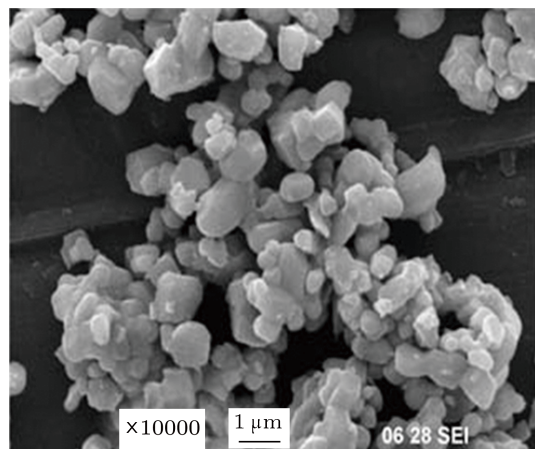


图 3 钙铜溶液 pH = 3.0 的前驱粉体煅烧产物的 SEM 图像

3.2 烧结温度与陶瓷试样微观结构

采用杂质相含量最少的溶液 pH = 3.0 的前驱粉体煅烧产物烧结制备了 CCTO 陶瓷。为了比较烧结温度对陶瓷试样微观结构的影响, 通过 SEM 观察了分别在 1040 °C (试样 A), 1060 °C (试样 B), 1080 °C (试样 C) 和 1100 °C (试样 D) 烧结 20 h 的 CCTO 陶瓷试样的断面微观形貌, 结果如图 4 所示。可以发现烧结温度越高, 陶瓷的晶粒尺寸越大, 晶界处存在的细小杂相越少。

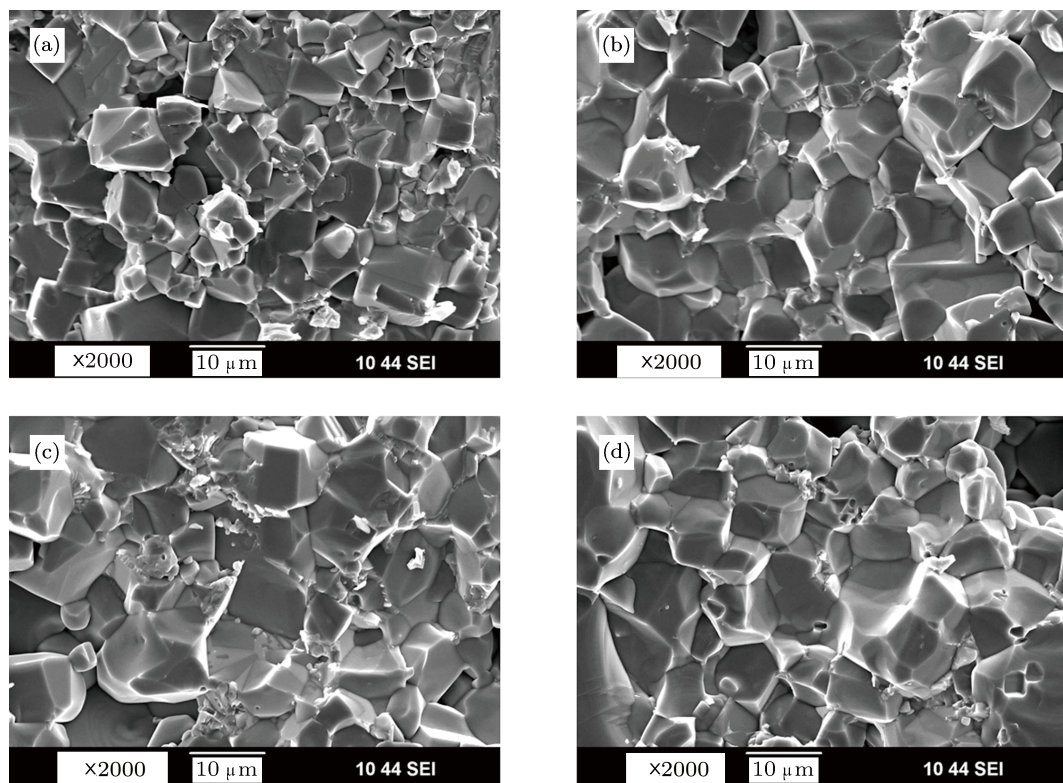


图 4 不同烧结温度 CCTO 陶瓷断面 SEM 图像 (a) 1040 °C; (b) 1060 °C; (c) 1080 °C; (d) 1100 °C

3.3 CCTO 陶瓷的介电性能

图 5 是 CCTO 陶瓷试样 A, B, C, D 在室温下的伏安特性测量结果, 插入图为非线性系数 α ($\alpha = \lg(I_1/I_2)/\lg(V_1/V_2)$, 其中电流 $I_1 = 1$ mA, $I_2 = 0.1$ mA, V_1 和 V_2 分别为对应电压) 和烧结温度的关系。由图 5 可以看出, 随着烧结温度的升高, 非线性系数 α 从 2.3 增大到 3.7 左右; 同时, 电位梯度 E_{1mA} (电流在 1 mA 时的场强) 随烧结温度升高而有所下降, 这是晶粒增大导致单位厚度内晶界数减少而造成的。

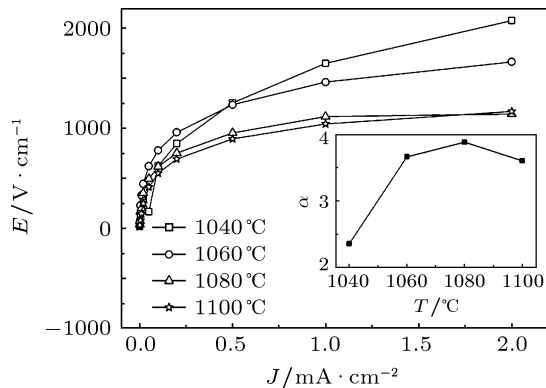


图 5 不同烧结温度 CCTO 陶瓷试样的伏安特性

图 6 是不同烧结温度 CCTO 陶瓷试样在 293 K 时的相对介电常数 ϵ' 和介质损耗角正切 $\tan \delta$ 随频率变化的曲线。在 10^5 Hz 处, 介电常数的数值发生突变, 除试样 A 外, 在 10^5 Hz 以下的低频范围内, ϵ' 的数值都能保持在 10^4 以上, 其中 D 曲线最平稳。CCTO 陶瓷室温下最小损耗值的频率范围一般是 10^3 — 10^4 Hz 范围内 [17,19], 在 2×10^3 Hz 处, 试样 D 介质损耗角正切 $\tan \delta$ 达到最小值为 0.04, 并且在 5×10^2 — 5×10^4 Hz 范围内都在 0.05 以下。而之前报道的共沉淀法制备的 CCTO 陶瓷在室温下的最小损耗值所在的 350 Hz 处, $\tan \delta$ 仍然大于 0.1 [17]。

因为试样 D 具有相当高的非线性系数和最低的损耗, 所以本文选取其在 173—373 K, 10^{-1} — 10^7 Hz 范围内测量了介电温谱, 其相对介电常数 ϵ' 及损耗因子 ϵ'' 如图 7 所示。在 10^5 Hz 以下的频率范围内, 试样的相对介电常数值 ϵ' 取值为 10^4 — 10^5 , 并且在低频 10 Hz 附近以及在高频 10^5 Hz 有两个突变过程, 对应 ϵ'' 谱图中的松弛损耗峰 1 和 2。峰 1 和 2 说明 CCTO 陶瓷中存在着两种松弛极化过程, 这两个损耗峰所在频率位置随温度升高向高

频方向偏移, 是典型的德拜松弛过程。根据德拜方程, 损耗因子 ϵ'' 可以表示为

$$\begin{aligned} \epsilon'' = A_1 \frac{\sigma_{dc}}{\omega \varepsilon_0} + A_2 \frac{(\varepsilon_{s1} - \varepsilon_{\infty 1}) \omega \tau_1}{1 + \omega^2 \tau_1^2} \\ + A_3 \frac{(\varepsilon_{s2} - \varepsilon_{\infty 2}) \omega \tau_2}{1 + \omega^2 \tau_2^2}, \end{aligned} \quad (1)$$

式中 A_1, A_2, A_3 是与材料相关的常数, $(\varepsilon_{s1} - \varepsilon_{\infty 1})$ 是高频松弛极化的最大值, $(\varepsilon_{s2} - \varepsilon_{\infty 2})$ 是低频松弛极化的最大值; τ_1, τ_2 是与温度有关的函数。由(1)式可以看出 CCTO 陶瓷的介质损耗可分为直流电导分量、低频松弛分量、高频松弛分量三部分。低频时, 直流电导分量占损耗的比例较大, 且与频率值成反比。(1)式中各分量可以在图 8 中定性地表示出来。由图 7(b) 可以看出当温度上升到室温 (293 K) 以上, 低频损耗峰 1 几乎不可见, 该损耗峰分量几乎完全为电导直流分量掩盖。

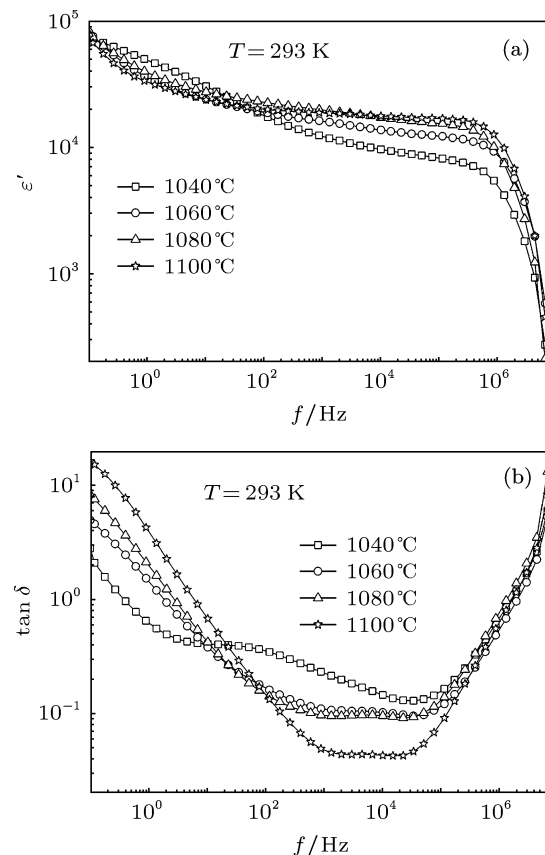


图 6 不同烧结温度 CCTO 陶瓷试样室温介电频谱 (a) 介电常数 ϵ' ; (b) 介质损耗角正切 $\tan \delta$

损耗因子 ϵ'' 的两个松弛峰的频率和温度的关系可以用 Arrhenius 方程 $f = f_0 \exp(-U/kT)$ 表示, 其中 f 和 T 分别是损耗峰所对应的频率和温度, f_0 是指前因子, U 是松弛活化能, k 是玻尔兹曼常数, 该关系在图 9 中给出。两个极化过程

峰 1 和 2 对应的活化能值分别是 $U_1 = 0.51 \text{ eV}$, $U_2 = 0.10 \text{ eV}$. Sinclair 等 [20] 采用 IBLC 的模型研究 CCTO 多晶陶瓷, 通过阻抗谱的方法分析了试样在不同温度下的晶粒电导、晶界电导, 计算得到两个活化能值为 0.60 和 0.08 eV, 认为较低的值为晶粒活化能 (bulk activation energy), 较高则为晶界活化能 (grain boundary activation energy). 本文的计算结果与之接近, 0.10 eV 就是试样的晶粒活化能, 对应的是高频下 10^5 — 10^6 Hz 的松弛过程, 而晶界活化能值为 0.51 eV, 对应的是低频下 10^2 — 10^4 Hz 的松弛过程. 近年来有研究认为晶粒内的亚晶界结构 [13,14,21] 或其他界面结构 [15] 对 CCTO 陶瓷的巨介电常数贡献要大于晶界结构, 所以低频的介电松弛也可能来自于亚晶界和亚晶粒的作用.

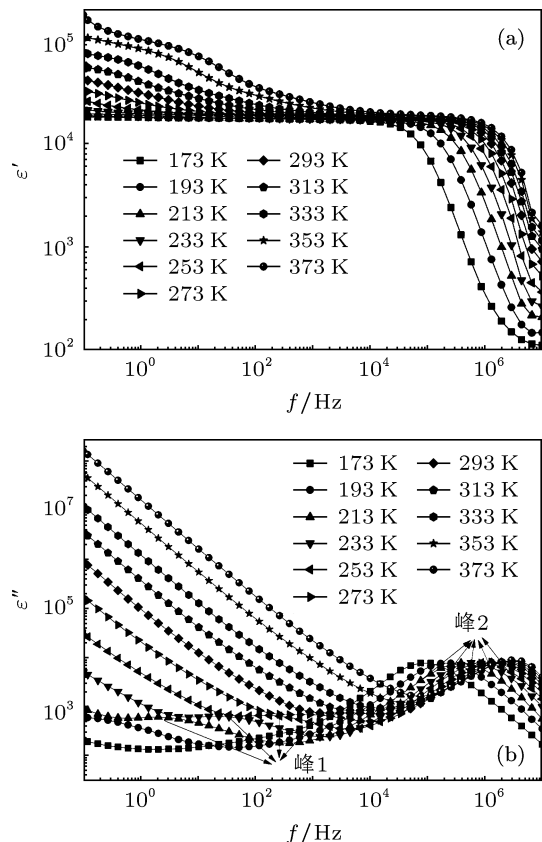


图 7 试样 D 在不同温度下的介电频谱 (a) 相对介电常数 ϵ' ; (b) 损耗因子 ϵ''

在具有内部阻挡层电容器结构的钙钛矿陶瓷 BaTiO_3 ^[22] 中, 高温 ($> 1000^\circ\text{C}$) 烧结导致晶粒中存在氧空位缺陷, 被认为是晶粒半导体性质的来源, 且氧空位的活化能为 0.1—0.2 eV, 本文中 CCTO 陶瓷的高频松弛极化对应的活化能 $U_2 = 0.10 \text{ eV}$, 所以可以推断 CCTO 晶粒半导体性质同样可能来源于氧空位缺陷. 低频下的松弛过程是非本征

的 Maxwell-Wagner 松弛极化 [23,24]. 在交流电场作用下, 电极和样品的接触界面形成极薄的阻挡层, 阻挡层本身存在着空间电荷极化, 即界面极化. 该过程涉及了两个介电层之间的界面载流子的交换, 因此需要较高的活化, 较长时间即较低的频率, 这与我们观察到的现象符合.

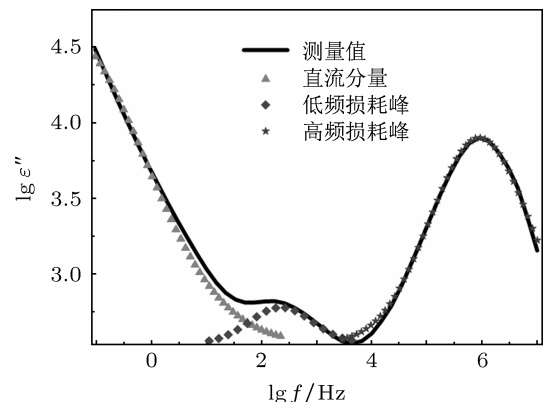


图 8 损耗因数 ϵ'' 三个分量的关系

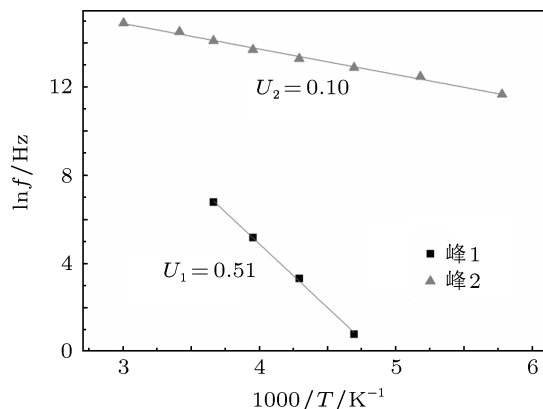


图 9 试样 D 松弛峰的表征图

图 10 是 CCTO 陶瓷试样在室温 (293 K) 时的复阻抗谱图, 其中插入图是高频端的放大图. CCTO 的复阻抗谱图由高频端的小曲率半圆和低频端的大曲率半圆组成 [9,20,24], 在图 10 中低频端的大曲率半圆明显可见, 在接近高频端时半圆出现了曲率不连续, 对应不完整的小曲率半圆. 晶粒和晶界的结构可以等效为两个并联 RC 电路 [20], 根据图 10 结果, 高频和低频端的半圆截距就分别是晶粒的等效电阻 R_g 和晶界的等效电阻 R_{gb} , 其数值列在表 1 中.

由表 1 可以看出, 随烧结温度的升高, 晶粒和晶界的电阻都呈下降趋势. 根据前文的分析, 认为 CCTO 晶粒半导体性质来源于氧空位缺陷. 高温下烧结 CCTO 陶瓷内出现氧空位, 同时产生自由电

子, 此时晶粒晶界呈现半导特性。降温过程中, 空气中的氧扩散到晶界中, 与晶界处氧空位复合, 从而使晶界重新获得绝缘特性。烧结温度升高导致氧空位浓度增大, 从而导致晶粒和晶界的等效电阻下降。如果将空气中烧结的 CCTO 陶瓷以 900 °C 进行高真空 (10^{-4} Pa) 热处理^[25], 晶界和晶粒的区别将变

得不明显, 复阻抗谱图获得的等效晶界电阻减小, IBLC 理论不再成立, 介电常数大幅减小, 说明了在无氧的气氛中晶粒可能也再次产生大量氧空位变成半导体态。

4 结 论

本文提出了一种简化的共沉淀法用以制备 CCTO 陶瓷, 选用草酸作为沉淀剂、乙酸铵作为缓冲液, 确定了在反应溶液的 pH = 3.0 时, 制备出的前驱粉料经 950 °C 煅烧 10 h 可以获得 CCTO 主相纯度高、粒径均匀的 CCTO 陶瓷粉。在不同温度下烧结该陶瓷粉 20 h 后发现, 1100 °C 烧结的试样晶界处存在的细小杂相最少、晶粒最大, 介电常数稳定而且介质损耗角正切 $\tan \delta$ 最低可达 0.04。

通过对 1100 °C 烧结的 CCTO 陶瓷试样在不同温度下的介电损耗的研究表明, 高频 (10^5 — 10^6 Hz) 松弛过程的活化能为 0.10 eV, 对应于晶粒氧空位的活化能, 低频 (10^2 — 10^4 Hz) 松弛极化的活化能是 0.51 eV, 是晶界处 Schottky 势垒区空间电荷发生的 Maxwell-Wagner 松弛过程。复阻抗谱图分析表明随烧结温度的升高, 晶粒和晶界电阻下降, 这可能与烧结过程氧空位的变化有关。

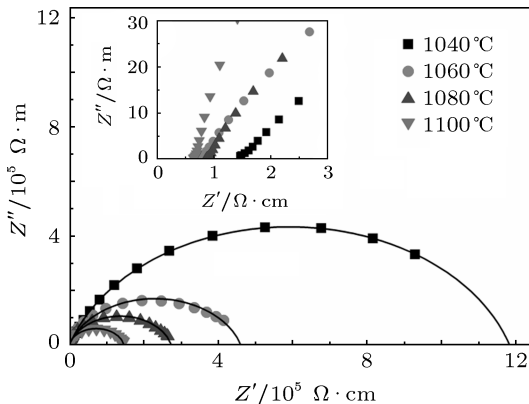


图 10 不同烧结温度 CCTO 陶瓷室温阻抗谱

表 1 室温下阻抗谱分析试样晶粒晶界等效电阻值

试样	A	B	C	D
$R_g/\Omega\cdot\text{cm}$	1.4	0.75	0.85	0.63
$R_{gb}/10^5 \Omega\cdot\text{cm}$	12.0	6.10	2.80	1.60

- [1] Subramanian M A, Dong L, Duan N, Reisner B A, Sleight A W 2000 *Solid State Chem.* **151** 323
- [2] Ramirez A P, Subramanian M A, Gardel M, Blumberg G, Li D, Vogt T, Shapiro S M 2000 *Solid State Commun.* **151** 217
- [3] Subramanian M A, Sleight A W 2002 *Solid State Sci.* **4** 347
- [4] He L X, Neaton J B, Cohen M H, Vanderbilt D, Homes C C 2002 *Phys. Rev. B* **65** 214112
- [5] He L X, Neaton J B, Vanderbilt D, Choen M H 2003 *Phys. Rev. B* **67** 012103
- [6] Cohen M H, Neaton J B, He L X, Vanderbilt D 2003 *J. Appl. Phys.* **94** 3299
- [7] Zhang L, Tang Z 2004 *Phys. Rev. B* **70** 174306
- [8] Tselev A, Brooks C M, Anlage S M, Zheng H, Riba L S, Ramesh R, Subramanian M A 2004 *Phys. Rev. B* **70** 144101
- [9] Chiadelli G, Massarotti V, Capsoni D, Bini M, Azzoni C B, Mozzati M C, Lupotto P 2004 *Solid State Commun.* **132** 241
- [10] Fang L, Shen M, Cao W 2004 *J. Appl. Phys.* **95** 6483
- [11] Homes C C, Vogt T, Shapiro S M, Wakimoto S, Subramanian M A, Ramirez A P 2003 *Phys. Rev. B* **67** 092106
- [12] Chen L, Chen C L, Lin Y, Chen Y B, Chen X H, Bontchev R P, Park C Y, Jacobson A J 2003 *Appl. Phys. Lett.* **82** 2317
- [13] Fang T T, Liu C P 2005 *Chem. Mater.* **17** 5167
- [14] Fang T T, Shiao H K 2004 *J. Am. Ceram. Soc.* **87** 2072
- [15] Fu D S, Taniguchi H, Taniyama T, Itoh M, Koshihara S Y 2008 *Chem. Mater.* **20** 1694
- [16] Yang C H, Zhou X L, Xu G, Han G R, Weng W J, Du P Y 2006 *J. Chin. Ceram. Soc.* **34** 753 (in Chinese) [杨昌辉, 周小莉, 徐刚, 韩高荣, 翁文剑, 杜丕一 2006 硅酸盐学报 **34** 753]
- [17] Guillemet-Fritscha S, Lebeyb T, Boulosa M, Duranda B 2006 *J. Eur. Ceram. Soc.* **26** 1245
- [18] Marchin L, Guillemet-Fritscha S, Durand B 2007 *Prog. Solid State Chem.* **36** 151
- [19] Yang Y, Li S T 2010 *J. Inorg. Mater.* **25** 835 (in Chinese) [杨雁, 李盛涛 2010 无机材料学报 **25** 835]
- [20] Sinclair D C, Adams T B, Morrison F D, West A R 2002 *Appl. Phys. Lett.* **80** 2153
- [21] Zang G Z, Zhang J L, Zheng P, Wang J F, Wang C L 2005 *J. Phys. D: Appl. Phys.* **38** 1824
- [22] Morrison F D, Sinclair D C, West A R 2001 *J. Am. Ceram. Soc.* **84** 531
- [23] Li W, Schwartz R W 2007 *Phys. Rev. B* **75** 012104
- [24] Li J Y, Zhao X T, Li S T, Alim M A 2010 *J. Appl. Phys.* **108** 104104
- [25] Li J Y, Xu T W, Li S T, Jin H Y, Li W 2010 *J. Alloys Compd.* **506** L1

Dielectric properties of $\text{CaCu}_3\text{Ti}_4\text{O}_{12}$ ceramics prepared by a simplified coprecipitation method*

Jia Ran Gu Fang Wu Zhen-Hua Zhao Xue-Tong Li Jian-Ying[†]

(State Key Laboratory of Electrical Insulation and Power Equipment, Xi'an Jiaotong University, Xi'an 710049, China)

(Received 12 January 2012; revised manuscript received 17 May 2012)

Abstract

Precursor powder of $\text{CaCu}_3\text{Ti}_4\text{O}_{12}$ is prepared by a simplified coprecipitation process, in which an optimum reaction condition with ammonium acetate is used as buffer solution and $\text{pH} = 3.0$ is proved by X-ray diffraction and scanning electron microscope. The $\text{CaCu}_3\text{Ti}_4\text{O}_{12}$ ceramics samples are prepared by sintering the calcined powder at different temperatures (1040°C – 1100°C). It is found that higher sintering temperature of $\text{CaCu}_3\text{Ti}_4\text{O}_{12}$ ceramics will lead to larger grain size, higher dielectric constant and lower dielectric loss. The dielectric loss of $\text{CaCu}_3\text{Ti}_4\text{O}_{12}$ ceramics is suggested to be due to DC electric conductivity, low-frequency relaxation loss and high-frequency relaxation loss. The low-frequency and high-frequency relaxations are related to grain boundary and oxygen vacancy defects respectively.

Keywords: giant dielectric constant, simplified coprecipitation, relaxation polarization, $\text{CaCu}_3\text{Ti}_4\text{O}_{12}$ ceramics

PACS: 77.22.Gm, 77.22.-d, 81.05.Je

* Project supported by the National Natural Science Foundation of China (Grant Nos. 50977071, 50972118, 51177121).

† E-mail: lijy@mail.xjtu.edu.cn